

СЕКЦИЯ «ЭНЕРГОЭФФЕКТИВНЫЕ ТЕХНОЛОГИИ»

УДК 537.6

ИНТЕНСИФИКАЦИЯ ТЕРМОМАГНИТНОЙ КОНВЕКЦИИ В КОЛЬЦЕВОМ ЗАЗОРЕ ОДНОРОДНЫМ МАГНИТНЫМ ПОЛЕМ ЗА СЧЕТ ОПТИМИЗАЦИИ ФОРМЫ ВНУТРЕННЕЙ ПОВЕРХНОСТИ

Ананич А.Н.

Научный руководитель: д.ф.-м.н., профессор Краков М.С.
Белорусский национальный технический университет

Конвекция в горизонтальном кольцевом зазоре является предметом интереса многих исследований из-за теоретического интереса и широкого инженерного применения, например, в кабельных системах передачи и охлаждения электронного оборудования.

Экспериментальное и численное исследование конвекции в кольцевом зазоре было проведено Куном и Гольдштейном [1]. Естественная конвекция для жидкости с числом Прандтля 0.71 (воздух) при синусоидальной форме внутреннего цилиндра была изучена в работе [2]. Расчеты были выполнены для чисел Рэлея $Ra=10^3, 10^4, 10^5$ и 10^6 , амплитуд $A=0.1, 0.3, 0.5$ и различных периодов синусоиды.

При использовании магнитной жидкости в качестве теплоносителя появляется дополнительная объёмная сила, значение которой определяется намагничённостью жидкости и градиентом напряжённости магнитного поля. До настоящего момента исследована термомагнитная конвекция в зазоре с круговым или эллиптическим цилиндром внутри [3]. Как круговой, так и эллиптический цилиндры служат концентраторами магнитного поля, создающими градиент магнитного поля у поверхности внутреннего цилиндра. Открытой задачей остается влияние формы и количества концентраторов магнитного поля на характер термомагнитной конвекции.

Целью работы является определение возможности интенсификации конвекции в кольцевом зазоре за счет использования намагничённой среды в качестве теплоносителя и выбор формы внутреннего цилиндра.

Неоднородное магнитное поле описывается уравнениями

$$\nabla \cdot \mathbf{B} = 0; \quad (1)$$

$$\nabla \times \mathbf{H} = 0; \quad (2)$$

$$\mathbf{B} = \mu_0(\mathbf{H} + \mathbf{M}(H, T)); \quad (3)$$

$$\mathbf{M}(H, T) = \frac{M(H, T)\mathbf{H}}{H}. \quad (4)$$

Намагниченность реальных магнитных жидкостей хорошо описывает эмпирическая зависимость [4]:

$$M(H) = M_s \frac{\chi_0 \hat{H}}{1 + \chi_0 \hat{H}} = M_s f(\hat{H}), \quad (5)$$

где χ_0 – начальная магнитная восприимчивость, $\hat{H} = H/M_s$ – безразмерная напряженность магнитного поля.

Так как $\nabla \times \mathbf{H} = \mathbf{0}$, то можно ввести скалярный потенциал магнитного поля F такой, что $\mathbf{H} = \nabla F$. Тогда магнитное поле определяется выражениями

$$\nabla(\mu(H)\nabla F) = 0, \quad \mu(H) = 1 + \frac{f(\hat{H})}{\hat{H}} \quad (6)$$

с граничными условиями

$$\left\{ \mu \frac{\partial F}{\partial n} \right\} = 0, \quad \left\{ \mu \frac{\partial F}{\partial \tau} \right\} = 0, \quad (7)$$

где фигурные скобки означают $\{a\} = a_1 - a_2$, а индексы 1 и 2 относятся к среде по обеим сторонам границы.

Безразмерная система уравнений, описывающая конвективное движение в переменных функции тока - завихренность, имеет вид

$$\begin{aligned} \frac{\partial \omega}{\partial t} + \frac{1}{\text{Pr}} \mathbf{u} \cdot \nabla \omega &= \Delta(\omega) + \text{Ra} \frac{\partial \theta}{\partial x} + \\ + \text{Ra}_m \frac{\chi H \frac{H_0}{M_s}}{1 + \chi H \frac{H_0}{M_s}} &\left[\left(\frac{\partial H}{\partial x} \right) \left(\frac{\partial \theta}{\partial y} \right) - \left(\frac{\partial H}{\partial y} \right) \left(\frac{\partial \theta}{\partial x} \right) \right]; \quad (8) \\ \Delta \psi &= -\omega. \quad (9) \end{aligned}$$

В качестве характерных величин используются следующие величины: $[t] = L^2/\nu$, $[x, y] = L$, $[T] = \Delta T$, $[u] = \kappa/L$, $[\psi] = \kappa$, $[\omega] = \kappa/L^2$, $[H] = M_s$, где L – характерный размер системы, κ – коэффициент температуропроводности, θ – безразмерная температура. Здесь $\text{Ra}_m = \frac{\mu_0 M_s^2 \beta \Delta T L^2}{\rho \kappa \nu}$ – магнитное число Рэлея, $\text{Ra} = \frac{L^3 \beta \Delta T}{\kappa \nu}$ – число Рэлея, $\text{Pr} = \frac{\nu}{\kappa}$ – число Прандтля.

Функция тока и завихренность связаны со скоростью выражениями:

$$u_x = \frac{\partial \psi}{\partial y}, \quad u_y = -\frac{\partial \psi}{\partial x}, \quad \boldsymbol{\omega} = \nabla \times \mathbf{u}. \quad (10)$$

Уравнение для температуры имеет вид

$$\text{Pr} \frac{\partial \theta}{\partial t} + (\mathbf{u} \cdot \nabla) \theta = \Delta \theta. \quad (11)$$

Рассматривается конвекция магнитной жидкости в кольцевом зазоре между двумя цилиндрами. Наружный цилиндр с радиусом R_{out} является круглым, профиль внутреннего цилиндра соответствует формуле:

$$R = R_{in} + A \sin(N * \varphi + \varphi_0), \quad (12)$$

где R_{in} – радиус базовой окружности ($R_{in} = 1$), A – амплитуда, φ – угол, отсчитываемы от вертикальной оси.

Магнитное поле вычисляется в соответствии с уравнением (6) и граничными условиями (7) во всем пространстве. В этом случае внешний радиус расчетной области, соответствующий “бесконечности”, предполагался равным $R_{\infty} = 16R$.

Тепловой поток через поверхность определяется выражением

$$Nu = \oint_{\Omega} \frac{d\theta}{dn} d\Omega. \quad (13)$$

Чтобы проверить численную схему, среднее число Нуссельта сравнивается с результатами, полученными из графиков [2] для $Ra=10^3, 10^4$, $A = 0.1, 0.3, 0.5$, $N=3$, $Pr=0.71$. Из таблицы 1 видно, что результаты хорошо согласуются с данными [2].

Таблица 1. Сравнение чисел Нуссельта, $N=3$, $Pr=0.71$, $Ra_m = 0$.

A	Ra	[2] Nu_{ave}	Present Nu_{ave}
0.1	10^3	0.78	0.7819
0.3	10^3	0.90	0.9038
0.5	10^3	1.11	1.1127
0.1	10^4	1.33	1.3289
0.3	10^4	1.38	1.4620
0.5	10^4	1.48	1.4849

Изолинии напряженности магнитного поля в кольцевом зазоре вблизи внутреннего цилиндра для амплитуд $A = 0.3, 0.5$ и $H_0 = 5$ приведены на рисунке 1. Внешнее поле ориентировано вертикально. Внутренний цилиндр выполнен из материала с высокой магнитной проницаемостью ($\mu = 1000$). Для амплитуды $A = 0.3$ максимальное значение напряженности магнитного поля $H_{max} = 13.0272$. В случае $A = 0.5$ кривизна оказывается больше и максимальное значение напряженности магнитного поля $H_{max} = 14.2084$.

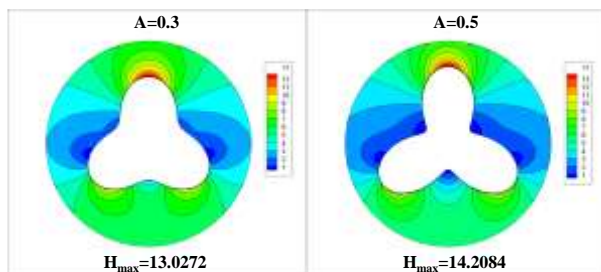


Рисунок 1. Структура магнитного поля. $H_0 = 5$, $\mu = 1000$

На рисунке 2 показана зависимость Nu/Nu_0 от магнитного числа Рэлея при значении гравитационного числа Рэлея $Ra = 10^4$ для амплитуд $A = 0.3, 0.5$. Здесь Nu_0 - значение числа Нуссельта при отсутствии магнитного поля. Число Нуссельта увеличивается наиболее быстро при небольших значениях Ra_m . Структура течения и распределение температуры для амплитуды $A = 0.5$ для некоторых значений Ra_m представлены на рисунке 3.

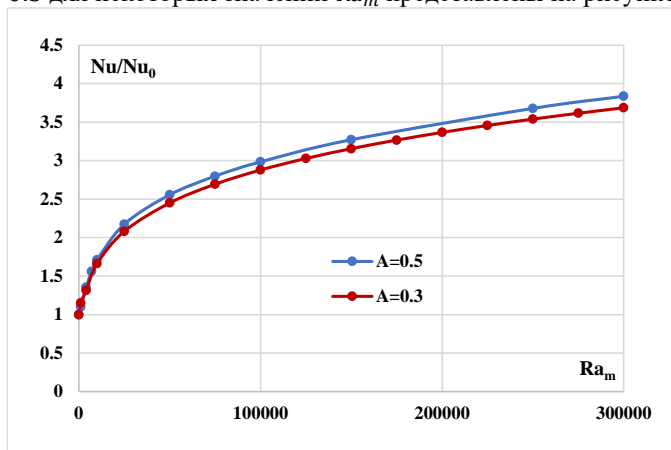


Рисунок 2. Зависимость числа Нуссельта от Ra_m . $Pr = 700$, $Ra = 10^4$

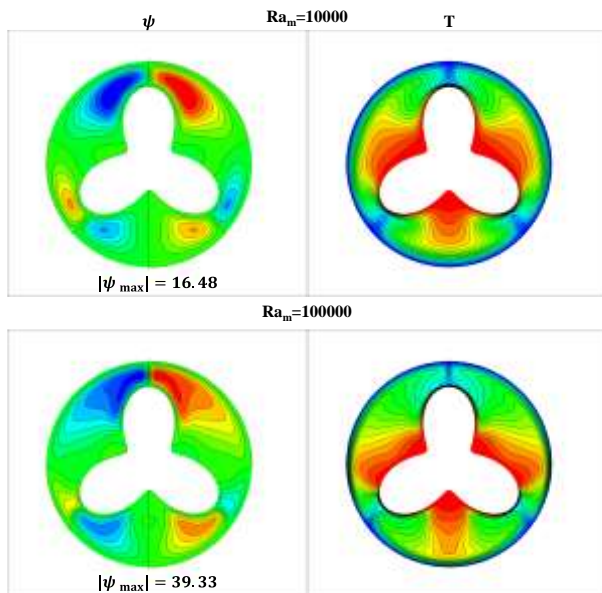


Рисунок 3. Линии тока и изотермы для $Ra = 10^4$. $A = 0.5$

В случае, когда $Ra = 10^5$ (рис. 4), интенсивность теплопередачи почти не увеличивается при небольших значениях Ra_m для амплитуд $A = 0.3, 0.5$. Когда магнитные силы превышают гравитационные, интенсивность теплопередачи скачкообразно возрастает. Этот скачок соответствует изменению структуры течения: появляются две дополнительные конвективные ячейки (рис. 5).

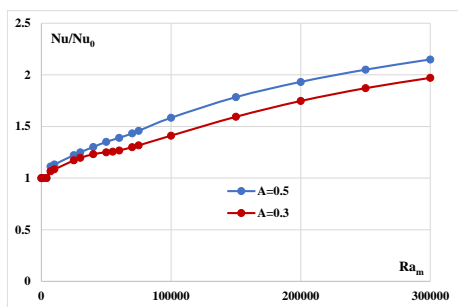


Рисунок 4. Зависимость числа Нуссельта от Ra_m . $Pr = 700, Ra = 10^5$

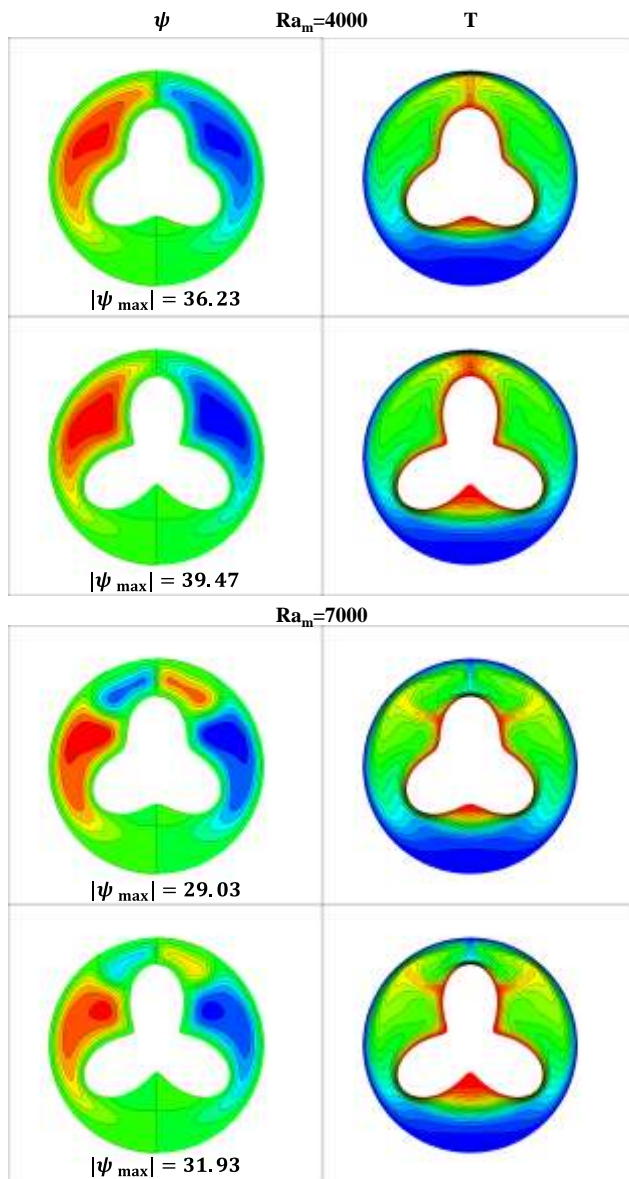


Рисунок 5. Линии тока и изотермы для $Ra = 10^5$

Интенсивность конвекции за счет использования магнитной жидкости для амплитуд $A = 0.5, 0.3$ может быть увеличена более чем в 3 раза по сравнению с гравитационной конвекцией при $Ra = 10^4$. При большом значении числа Рэлея ($Ra = 10^5$) влияние магнитных сил на интенсивность конвекции невелико. Для амплитуды $A = 0.5$ при $Ra_m = 300000$ теплопередача может быть увеличена в 2.15 раза, а для $A = 0.3$ – в 1.97 раз.

Таким образом, была рассмотрена конвекция в кольцевом зазоре при использовании магнитной жидкости в качестве теплоносителя. Изучено влияние формы внутреннего цилиндра на интенсивность конвекции. Было установлено, что теплопередача может быть увеличена в 3 раза по сравнению с гравитационной конвекцией для внутреннего цилиндра с 3 выступами при небольшом числе Рэлея ($Ra = 10^4$).

Литература

1. T. Kuehn, R. Goldstein, An experimental and theoretical study of natural convection in the annulus between horizontal cylinders, *J. Fluid Mech.* 74 (1976) 695–719, <https://doi.org/10.1017/S0022112076002012>.

2. M. Sheikholeslami, Simulation of Vorticity Stream Function Formulation by Means of CVFEM. Application of Control Volume Based Finite Element Method (CVFEM) for Nanofluid Flow and Heat Transfer (2019) 15–32, <https://doi.org/10.1016/B978-0-12-814152-6.00002-3>

3. M.S. Krakov, I.V. Nikiforov, Influence of the shape of the inner boundary on thermomagnetic convection in the annulus between horizontal cylinders: Heat transfer enhancement, *Int. J. Therm. Sci.* 153 (2020), 106374, <https://doi.org/10.1016/j.ijthermalsci.2020.106374>

4. A. Vislovich, Phenomenological equation of static magnetization of magnetic fluids, *Magnetohydrodynamics* 26 (1990) 178–183, <https://doi.org/10.22364/mhd>.